

# بررسی هاله‌های دگرسانی-کانی‌زایی و الگوی پراکندگی مس، مولیبدن، طلا و نقره در کانسار مس پورفیری میدوک، شهر بابک، کرمان

نوشته: نادر تقی پور<sup>\*</sup>، علیجان آفتابی<sup>\*</sup> و محمد رضا رمضانی<sup>\*\*</sup>

<sup>\*</sup>گروه زمین‌شناسی، دانشکده علوم، دانشگاه شهید باهنر کرمان، کرمان، ایران

<sup>\*\*</sup> واحد معدن، بخش زمین‌شناسی، مجتمع مس میدوک، کرمان، ایران

تاریخ دریافت: ۱۳۸۵/۰۵/۲۳

تاریخ پذیرش: ۱۳۸۷/۰۵/۲۳

## چکیده

کانسار مس پورفیری میدوک در استان کرمان و در ۸۵ کیلومتری معدن مس پورفیری سرچشمہ واقع است. این کانسار در درون سنگ‌های آتشفشاری اثوسن با ترکیب آندزیت-بازانلت قرار گرفته است. کانی زایی نوع پورفیری همراه با توده نفوذی پورفیری کلسیمی-قلیانی (پورفیری P1 و میدوک پورفیری) به سن میوسن رخ داده است. پنج هاله دگرسانی اولیه در این کانسار شناسایی شده است. پتاسیک غنی از مگنتیت، پتاسیک، فیلیک و پروپیلیتیک، مرحله اصلی کانی زایی شامل کالکوپیریت همراه با انیدریت و مگنتیت در زون دگرسانی پتاسیک شده است. پتاسیک غنی از مگنتیت، پتاسیک، فیلیک و پروپیلیتیک، مرحله اصلی کانی زایی شامل ماقمایی، ماقمایی متأثر از سیالات گرمایی و ثانویه در کانسار میدوک حضور دارد. بیوتیت‌های ماقمایی متأثر از سیالات گرمایی و ثانویه مقادیر  $X_{Mg}$  بیشتری نسبت به بیوتیت‌های ماقمایی دارند. مقادیر  $Mg/Ti$ ,  $Al/Ti$ ,  $Si/Al$ ,  $Mg/K$ ,  $Fe/Na$ ,  $Ti/Mg$  همبستگی مثبت و با مقادیر  $Al/Ti$  همبستگی منفی نشان می‌دهند. تغییرات مس، طلا، نقره و مولیبدن تابع نوع رگه‌ها، هاله دگرسانی و منطقه کانی زایی است. ذخیره کانسار میدوک در حدود ۱۷۰ میلیون تن با عیار میانگین مس (۰/۸۲٪ درصد)، مولیبدن (۰/۰۰۷٪ درصد)، طلا (۰/۸ ppm) و نقره (۸۲ ppb) است. مقادیر بالای مولیبدن و طلا به ترتیب در زون کانی زایی فروشست-اکسیدی، سولفیدی غنی شده، هاله دگرسانی پتاسیک-فیلیک و فیلیک دیده می‌شود. یک ضریب همبستگی مثبت قوی بین مس و طلا در زون دگرسانی پتاسیک غنی از مگنتیت و پتاسیک وجود دارد. بر اساس مطالعات کانی‌شناسی، سنگ‌شناسی، هاله‌های دگرسانی و مقادیر فلزات با ارزش، کانسار مس پورفیری میدوک مشابه کانسارات مس پورفیری نوع حاشیه قاره‌ای است.

## کلیدواژه‌ها: دگرسانی، کانی‌زایی، پورفیری، میدوک و کرمان

## ۱- مقدمه

(Saric et al., 1972) که به صورت نایپوستگی توسط کنگلومرای کرمان به سن پالئوسن (Dimitrijevic, 1973) پوشیده شده است. در پی آن، این دو واحد توسط فلیش‌های اثوسن پوشیده شده‌اند. سه مجموعه آتشفشاری بزرگ شامل بحر آسمان، رازک و هزار با ستبرای میانگین ۱۱ تا ۱۶ کیلومتر، در منطقه میدوک حضور دارند. مجموعه آتشفشاری بحر آسمان در اثوسن پیشین شکل گرفته و با یک فاز انفسجواری آذرآواری اسیدی، توف‌ها و برش‌های آتشفشاری از روانه‌های ریولیتی جدا شده است (Dimitrijevic, 1973). این مجموعه، اولین فعالیت آتشفشاری ترشیری در بخش جنوبی کمرنده آتشفشاری-نفوذی ایران مرکزی است. ستبرای این مجموعه حدود ۷ کیلومتر برآورد شده است، اما در منطقه میدوک در حدود ۴۰۰-۵۰۰ متر است (Dimitrijevic, 1973). مجموعه آتشفشاری رازک که سنگ میزان اصلی کانی‌زایی در کانسار میدوک است، به سه قسم تقسیم می‌شود. قسمت زیرین شامل بخش بازی (تراکی بازانلت، آندزیت و تراکی آندزیت)، قسمت میانی شامل بخش اسیدی (توف اسیدی) و قسمت بالایی شامل بخش بازی (تراکی آندزیت و تراکی بازانلت) است (Dimitrijevic, 1973). (Hassanzadeh, 1993) بر اساس سن سنجی آلتیت، سن قسمت زیرین این مجموعه به روش  $^{40}Ar/^{39}Ar$  را  $1/4 \pm 37/5$  میلیون سال تعیین کردند. مجموعه آتشفشاری هزار، بخش‌های وسیعی از منطقه میدوک را می‌پوشاند و شامل سنگ‌های تراکی آندزیت و تراکی بازانلت است. سن این مجموعه نیز با استفاده از روش  $^{40}Ar/^{39}Ar$ ، بر روی کانی آنالسیم  $6/3 \pm 32/7$  میلیون سال به دست آمده است (Hassanzadeh, 1993).

سنگ‌های آتشفشاری رخنمون یافته در محلوده معدن از نوع آندزیت بازانلتی و آندزیتی و معمولاً به صورت تودهای با بافت‌های دانه ریز و پورفیری است. انواع پورفیری این نوع سنگ‌ها، دارای بیش از ۶۰ درصد حجمی پلاژیوکلاز و زمینه دانه

کانی‌زایی نوع مس پورفیری در ایران با تودهای نفوذی گرانیتوییدی به سن میوسن همراه است که در کمرنده آتشفشاری، نفوذی سهند-بزمان واقع شده‌اند (شکل ۱). فعالیت‌های آتشفشاری، نفوذی و کانی‌زایی در کمرنده آتشفشاری، نفوذی سهند-بزمان در ارتباط با فروزانش سنگ کره نوتیس به زیر ایران مرکزی در طول گسل رورانده زاگرس است (Aftabi and Atapour, 2000; Foester, 1978; Berberian and King, 1981-). بخش جنوب خاوری کمرنده آتشفشاری، نفوذی سهند-بزمان در استان کرمان قرار دارد و به کمرنده فرعی دهچ-ساردوئه معروف است که یکی از مناطق اصلی کانی‌زایی مس در ایران می‌باشد و در آن بیش از ۵۰ کانسار و رخداد معدنی پورفیری و رگه‌ای شناسایی شده است. کانسار مس-مولیبدن پورفیری سرچشمہ با ۱۲۰ میلیون تن ماده معدنی و با عیار میانگین ۶۹/۰ درصد مس و عیار میانگین ۰/۰۳ درصد مولیبدن در این کمرنده قرار دارد (Shahabpour, 2000). کانسار مس پورفیری میدوک در ۸۵ کیلومتری شمال باختり معدن سرچشمہ و در ۵۰ کیلومتری شمال شهر بابک واقع است (شکل ۱). مطالعات اکتشافی اولیه بر روی کانسار میدوک در سال‌های ۱۹۷۰-۱۹۹۷ شرکت‌های Parjam و Metallgesellschaft به گمانه ۵۰ حلقه گمانه در کانسار حفر شده است که بیشترین ژرفه، ۱۰۱۳ متر مربوط به گمانه ۴۴ است. کانسار میدوک دارای ۱۷۰ میلیون تن کانسنگ معدنی با عیار میانگین ۰/۸۶ درصد مس، ۰/۰۰۷ درصد مولیبدن، ۸۲ میلی گرم بر تن طلا و ۱/۸ گرم بر تن نقره می‌باشد (تقی پور, ۱۳۸۶).

کهنه ترین واحد شناخته شده در منطقه میدوک، فلیش‌های سنومانین-تورونین است

## ۲- زمین‌شناسی منطقه میدوک

#### ۴-۱. دگرسانی پتاسیک غنی از مگنتیت

این نوع دگرسانی که با حضور رگچه‌ها و رگه‌های مگنتیت مشخص می‌شود، در بعضی از کانسارهای مس پورفیری مانند آیندکاپر (Arancibia & Clark, 1996) و کانسار Bajo de la Alumberera آرژانتین (Ulrich and Henrich, 2001) گزارش شده است. این نوع دگرسانی در کانسار مس پورفیری میدوک برای اولین بار شناسایی شده است. گسترش آن مربوط به قسمت باختری کانسار میدوک و در قسمت‌های ژرف همراه با پورفیری P است. بیشترین و بهترین رخمنون این دگرسانی در چاه شماره ۴۴ و در سنگ‌های دیواره آتششناختی دیده می‌شود. این دگرسانی با حضور مگنتیت به صورت انتشاری و رگچه و رگه، کوارتز و فلدسپار پتاسیم و مقادیر کمی بیوتیت ثانویه و سریسیت مشخص می‌شود. درشت‌بلورهای پلازیو کلاز "کاملاً" دگرسان شده‌اند و به سریسیت، فلدسپار پتاسیم و انیدریت تبدیل شده‌اند و تنها قالب آنها بر جای مانده است. درشت‌بلورهای بیوتیت ثانویه، سریسیت و کلریت و در بعضی قسمت‌ها به مگنتیت و اسفن تبدیل شده‌اند.

کالکوپیریت تنها کانی مس دار در این دگرسانی است که به صورت انتشاری و یا رگه‌ای دیده می‌شود. کانی پیریت حضور ندارد و یا به مقدار بسیار کم به صورت بلورهای ریز شکل دار دیده می‌شود. این دگرسانی به وسیله دگرسانی سریسیت، رس، کلریت متأثر شده است.

#### ۴-۲. دگرسانی پتاسیک

دو نوع دگرسانی پتاسیک بر اساس شدت دگرسانی در کانسار میدوک شناسایی شده است. سنگ‌هایی با دگرسانی پتاسیک ضعیف که به وسیله درشت‌بلورهای پلازیو کلاز شکل دار سالم و بیوتیت ثانویه در زمینه، هورنبلن و مقدار کمی بیوتیت ماغمای مشخص می‌شود. این دگرسانی در مرکز کانسار و در ژرف‌ترین قسمت آن دیده می‌شود. کانی فلدسپار پتاسیم به مقدار کم جانشین درشت‌بلورهای پلازیو کلاز شده است. دگرسانی پتاسیک شدید به وسیله حضور فلدسپار پتاسیم ثانویه، بیوتیت ثانویه و انیدریت مشخص می‌شود. همچنین فلدسپار پتاسیم در زمینه سنگ نیز به صورت ثانویه حضور دارد. درشت‌بلورهای هورنبلن توسط بیوتیت ثانویه، انیدریت و اندکی آپاتیت، مگنتیت، کالکوپیریت و روتبیل جانشین شده‌اند. بیشترین گسترش بیوتیت قرار گرفته‌اند، دیده می‌شود.

تشکیل مگنتیت در زون پتاسیک به صورت انتشاری و همراه با رگه‌های کوارتز، کالکوپیریت و انیدریت است. رگچه‌ها و رگه‌های مگنتیتی در دگرسانی پتاسیک حضور ندارند (Arancibia & Clark, 1996). کالکوپیریت کانی اصلی سولفیدی در این زون است که به صورت انتشاری، همرشدی با مگنتیت و به صورت رگچه به انیدریت و رگه با کوارتز، انیدریت و مگنتیت دیده می‌شود. مقدار کمی بورنیت همراه با کالکوپیریت در این زون دیده می‌شود. پیریت به صورت انتشاری و رگچه تشکیل شده است و رگچه‌ها و رگه‌های کوارتز قادر کانی‌زایی، درشت‌بلورهای پلازیو کلاز و بیوتیت را قطع کرده‌اند.

#### ۴-۳. دگرسانی پتاسیک-فیلیک

گسترش این دگرسانی در کانسار میدوک نسبتاً زیاد است که به وسیله متأثر شدن دگرسانی پتاسیک از دگرسانی فیلیک به وجود آمده است و با حضور کانی‌های فلدسپار پتاسیم، بیوتیت ثانویه، سریسیت و کوارتز مشخص می‌شود. در این دگرسانی درشت‌بلورهای پلازیو کلاز به طور کامل به فلدسپار پتاسیم، سریسیت و کانی‌های رسی و به مقدار کمی به انیدریت دگرسان شده‌اند. بیوتیت نیز به بیوتیت‌های ثانویه، سریسیت و روتبیل تبدیل شده‌اند. پیریت و کالکوپیریت مهم‌ترین کانی‌های سولفیدی هستند و به صورت انتشاری و رگچه و رگه حضور دارند. کانی‌زایی مگنتیت نیز به

ریز آنها شامل پلازیو کلاز، پیروکسن، سریسیت، مگنتیت و پیریت است. بر اساس بافت، روابط قطع شدگی و شدت کانی‌زایی سه نوع توده نفوذی پورفیری شامل توده نفوذی I، توده نفوذی میدوک پورفیری و دایک پورفیری تأخیری در کانسار میدوک شناسایی شده است. توده پورفیری P در باخته معدن واقع شده (شکل ۲) و دارای بافت پورفیری-آلپیتی با رنگ خاکستری و به شدت دگرسان شده است. این توده پورفیری شامل ۵۰ تا ۵۰ درصد درشت‌بلورهای دگرسان شده‌اند و فقط بیوتیت و هورنبلن است. به طور تقریب همه درشت‌بلورهای دگرسان شده‌اند و فقط قالب اولیه آنها حفظ شده است. کانی‌زایی در این توده به صورت استوک ورک و انتشاری است. ویژگی خاص این توده نیز رخداد رگچه و رگه‌های مگنتیت و مربوط به مراحل اولیه کانی‌زایی است. بنابراین به احتمال این توده قابیمی تراز توده میدوک پورفیری می‌باشد.

میدوک پورفیری بزرگ‌ترین فاز نفوذی در معدن میدوک است که از دیبوریت و کوارتزدیبوریت تشکیل شده و بیشترین شدت کانی‌زایی همراه با این توده نفوذی است. این توده نفوذی به وسیله حضور درشت‌بلورهای نسبتاً "سالمی از پلازیو کلازها، بیوتیت و کوارتز مشخص می‌شود. ترکیب کانی‌شناختی آن شامل ۵۰ درصد درشت‌بلورهای پلازیو کلاز، ۱۳ تا ۱۵ درصد کوارتز و در حدود ۱۰ درصد بیوتیت و زمینه آن نیز در حدود ۲۵ درصد است. درشت‌بلورهای آمفیبول کاملاً" دگرسان شده و به کانی‌های بیوتیت و مگنتیت تبدیل شده‌اند. توده‌های نفوذی پورفیری و سنگ‌های آتششناختی موجود در محلوده معدن توسط دایک‌های پورفیری تأخیری با روند شمالی-جنوبی قطع شده‌اند که به وسیله دگرسانی و کانی‌زایی ضعیف قابل شناسایی است (شکل ۲). ترکیب کانی‌شناختی این دایک‌ها کاملاً شبیه به پورفیری میدوک و شامل مقادیر بالای پلازیو کلاز، درشت‌بلورهای سالم بیوتیت و مقدار کمی کوارتز است. هورنبلن بیش از ۱۵ درصد سنگ را تشکیل می‌دهد که نسبتاً دگرسان شده و به کانی‌های کلریت و مگنتیت تبدیل شده‌اند. زمینه این دایک شامل کوارتز، پلازیو کلاز و آپاتیت است.

### ۳- روش مطالعه

به منظور مطالعه انواع بیوتیت‌ها در کانسار میدوک، پس از تهیه مقاطع نازک صیقلی، ۲۹ نقطه در ۵ نمونه با استفاده از دستگاه Comeca ۱۰۰x در شرکت تحقیقات فراوری مواد معدن ایران آنالیز میکروپرپ (EPMA) شد. در این روش برای اندازه گیری عناصر از استانداردهای آلیت، پریکلاز، کرندوم، ارتکلاز، ولاستونیت، رودونیت، اسپیکولاریت و اختلاف پتانسیلی 20keV و جریان 10nA استفاده شده است. برای بررسی الکترونی پراکنده‌گی مس، طلا، نقره و مولبیدن از تجزیه‌های زیادی استفاده شده است. داده‌های مربوط به مس و مولبیدن از پرونده چاه‌ها استخراج شده و برای بررسی وضعیت پراکنده‌گی طلا از ۳۴۴ داده استفاده شده است. تعداد ۲۲۰ نمونه توسط شرکت Rio Tinto و ۸۸ نمونه توسط شرکت Outotec تجزیه شده‌اند. همچنین ۳۶ نمونه نیز از قسمت‌های مختلف کانسار انتخاب و برای تعیین مقدار طلا به روش ICP-MS شرکت ALS-Chemec کانادا تجزیه شیمیایی شد.

### ۴- دگرسانی و کانی‌زایی

با مطالعه مقاطع نازک و نازک-صیقلی شش نوع دگرسانی در کانسار میدوک شناسایی شده است. این دگرسانی‌ها غالباً در توده‌های نفوذی پورفیری P1 و میدوک پورفیری حضور دارند. شکل ۳ توزیع مجموعه‌های دگرسانی و عیار مس را در مقطع B-B' نشان می‌دهد.

مانند آمفیول‌ها به وجود آمده‌اند.

#### ۷- سنگنگاری بیوپتیت‌ها

از نظر سنگنگاری، انواع بیوپتیت به آسانی قابل شناسایی هستند ولی به دلیل دگرسانی، همه در یک نوع توده دیده نمی‌شوند. بیوپتیت‌های ماقمایی به صورت بلورهای درشت کاملاً شکل دار رخ داده‌اند و رنگ آنها قهوه‌ای تیره است. هیچ گونه دگرسانی در داخل و یا پیرامون آنها دیده نمی‌شود. به نظر Burnham(1979) در کانسارهای مس پورفیری ترکیب ماقمایی تشکیل دهنده دایک‌های پورفیری تأخیری مشابه توده نفوذی پورفیری هستند. دایک‌های پورفیری تأخیری در کانسار میدوک نیز از نظر ژئوشیمیایی و سنگنگاری کاملاً مشابه با پورفیری میدوک هستند که در مراحل پایانی تشکیل کانسار مس پورفیری میدوک از ماقمایی تشکیل دهنده پورفیری میدوک به وجود آمده‌اند و به همین دلیل دارای کانی زایی ضعیفی هستند. بنابراین، از بیوپتیت‌های اولیه این دایک‌ها به دلیل نادگرسان بودن، به عنوان بیوپتیت‌های ماقمایی استفاده شده است (شکل ۴-الف). بیوپتیت‌های ماقمایی متأثر از سیالات گرمایی معمولاً درشت‌بلورهای شکل داری هستند که در حاشیه به کلریت و در مرکز به ارتوكلاز، ایندریت و مگنتیت تبدیل شده‌اند و رنگ آنها نیز قهوه‌ای مایل به تیره است (شکل ۴-ب). بیوپتیت‌های ثانویه بدون شکل هستند و اندازه آنها کوچک است. این بیوپتیت‌ها به صورت کامل و یا بخشی، جانشین هورنبلند یا بیوپتیت‌های ماقمایی می‌شوند و رنگ آنها قهوه‌ای است (شکل ۴-ج).

#### ۸- ویژگی‌های شیمیایی بیوپتیت‌ها

جداول ۱ و ۲ ترکیب شیمیایی بیوپتیت‌ها در کانسار میدوک نشان می‌دهد. یکی از مهم‌ترین عوامل برای تشخیص انواع بیوپتیت‌های ماقمایی، ماقمایی متأثر از سیالات گرمایی و ثانویه ( $X_{Mg} = Mg/Mg+Fe$ ) است. شکل ۵ روند تغییرات  $X_{Mg}$  این بیوپتیت‌ها را در برابر مقادیر عنصری و اکسیدی عناصر مختلفی مانند  $Fe/Ti$ ,  $Al^*Ti$ ,  $Mg/Ti$ ,  $Ti$ ,  $Si$ ,  $Fe$ ,  $Al$ ,  $Mg$ ,  $Na$ ,  $K$  ماقمایی متأثر از سیالات گرمایی و ثانویه که مربوط به زون دگرسانی پاتاسیک است، دارای مقادیر بیشتری از  $Si$ ,  $Al$ ,  $Mg$ ,  $K$ ,  $Mg/Al$  نسبت به بیوپتیت‌های ماقمایی هستند. همچنین مقادیر  $X_{Mg}$  با  $Mg/Ti$ ,  $Si$ ,  $Al$ ,  $Mg$ ,  $K$  همبستگی مثبت و با  $Al^* Ti$ ,  $Fe$ ,  $Na$ ,  $Ti$  بیوپتیت‌های ماقمایی متأثر از سیالات گرمایی و ثانویه که مربوط به زون دگرسانی پاتاسیک است. بیوپتیت‌ها در کانسار میدوک مقدار فلوئور است که حداقل به  $2/18$  درصد می‌رسد. این ویژگی خاص کانسارهای پورفیری و توده‌های نفوذی شوشنیتی و پاتاسیک هستند. همچنین مقادیر  $X_{Mg}$  در بیوپتیت‌های ماقمایی بیشتر از بیوپتیت‌های ماقمایی متأثر از سیالات گرمایی و ثانویه است. یکی از ویژگی‌های جالب توجه بیوپتیت‌ها در کانسار میدوک مقدار فلوئور است که حداقل به  $2/18$  درصد می‌رسد. این ویژگی قاره‌ای مانند کانسار یینگهام است که مقدار فلوئور در آن به بیش از  $620$  گرم بر تن می‌رسد (Muller et al., 1994).

#### ۹- الگوی پراکندگی مس، طلا، نقره و مولیبدن

تحلیل آماری بیش از  $300$  نمونه در زون‌های مختلف کانی زایی فروشست-اکسیدی، غنی شده ثانویه سولفیدی و ژرفاد کانسار میدوک در جداول ۳ و ۴ ارائه شده است. بر اساس این اطلاعات زون فروشست-اکسیدی دارای بیشترین مقدار مولیبدن (ppm  $280$ ) است. همچنین ضریب همبستگی مولیبدن با مس، طلا در این زون منفی و ضریب همبستگی بین مس و طلا مثبت ضعیف می‌باشد (جدول ۳ و شکل ۶). بیشترین مقدار مس و طلا (ppb  $280$ ) در زون غنی شده ثانویه سولفیدی وجود دارد.

صورت انتشاری و به صورت رگه همراه با کوارتز، کالکوپیریت و ایندریت است.

#### ۴-۴. دگرسانی فیلیک

دگرسانی فیلیک یا سرسیست با شسته شدن سدیم و کلسیم از کانی‌های آلمینوسیلیکاتی و منیزیم دار به وجود می‌آید (Beane and Titley, 1981). این دگرسانی با حضور کوارتز، سرسیست و پیریت مشخص می‌شود. تقریباً تمام کانی‌های تشکیل دهنده سنگ‌ها در این دگرسانی به طور کامل به سرسیست و کوارتز تبدیل شده‌اند. ایندریت و تیتانیت (اسفن) کانی‌های فرعی این زون هستند. تغییر دگرسانی از پاتاسیک-فیلیک به دگرسانی فیلیک تدریجی است و به وسیله افزایش مقدار سرسیست و کوارتز مشخص می‌شود. پیریت مهم‌ترین کانی سولفیدی در این زون است که به صورت پراکنده و همچنین در رگه‌ها دیده می‌شود.

#### ۴-۵. دگرسانی پروپیلیت

این دگرسانی در اطراف استوک میدوک پورفیری و بخصوص در قسمت شمالی کانسار دیده می‌شود. دگرسانی پروپیلیتی در قسمت‌های ژرف‌تر و در زون انتقالی پاتاسیک دیده نشده است. در این دگرسانی کانی‌های مافیک به کلریت، اپیدوت، کلسیت و پیریت و درشت‌بلورهای پلازیوکلاز به سرسیست، کلریت و اپیدوت تبدیل شده‌اند.

#### ۴-۶. دگرسانی آرژیلیک

این دگرسانی در اطراف استوک Beane & Bodnar(1995) بیان کردند که دگرسانی آرژیلیک تحت تأثیر محلول‌های گرمایی اولیه به وجود نمی‌آید و بیشتر در اثر فایاندهای سوریزن پدید می‌آید. همه کانی‌های تشکیل دهنده سنگ در این دگرسانی به طور کامل به کانی‌های رسی، سرسیست، کوارتز و هماتیت دگرسان می‌شوند. این دگرسانی در قسمت بالای کانسار میدوک رخ داده است و بر اساس تجزیه‌های XRD اغلب از کانی‌های سیلیکاتی ورقه‌ای، بویژه از ایلیت تشکیل شده‌اند.

#### ۵- شیمی افواع بیوپتیت در کانسار میدوک

بیشتر مطالعات پیشین بر روی ترکیب شیمیایی بیوپتیت‌ها در کانسارهای مس پورفیری، تعیین مقادیر Cl و F استوار بوده که برای تشخیص توده‌های کانی‌زا و غیرکانی‌زا استفاده شده است Stollery et al., 1971; Kesler et al., 1975; Parry and Jacobs, 1975; (Ford, 1978 Hezarkhani (2002) نیز به بررسی شیمی بیوپتیت‌های ماقمایی و گرمایی کانسار مس پورفیری سونگون پرداخته است و بر اساس مطالعات سنگنگاری و ترکیب شیمیایی، این دو نوع بیوپتیت را از هم تفکیک کرده است.

#### ۶- ردبهندی بیوپتیت‌ها

ردبهندی بیوپتیت‌ها بر اساس روش Selby and Nesbitt (2000) صورت پذیرفته است. بر این اساس، بیوپتیت‌ها در کانسار میدوک شامل دو نوع ماقمایی و ثانویه است. بیوپتیت‌های ماقمایی نشان دهنده بیوپتیت‌هایی هستند که مستقیماً از یک مذاب سیلیکاتی متبلور شده‌اند. این نوع بیوپتیت به دو گروه تقسیم می‌شوند. ۱- بیوپتیت‌های اولیه‌ای که دارای کمترین دگرسانی هستند و فایاندهای دگرسانی بر روی آنها کم‌ترین تأثیر را داشته است (بیوپتیت‌های ماقمایی نادگرسان).

۲- بیوپتیت‌های ماقمایی که تحت تأثیر فایاندهای دگرسانی قرار گرفته‌اند (مانند بیوپتیت‌های ماقمایی در زون دگرسانی پاتاسیک) و از این پس به آنها بیوپتیت‌های ماقمایی متأثر از سیالات گرمایی گفته می‌شود. بیوپتیت‌های ثانویه نیز شامل بیوپتیت‌هایی هستند که تحت تأثیر سیالات گرمایی و از دگرسانی سیلیکات‌های تیره

ایزوتوپی (McInnes et al., 2005) ژرفای جایگزینی توده نفوذی کانسار میدوک و کانسار سرچشمہ را به ترتیب ۲/۵۱ و ۴/۷۵ کیلومتر تعیین کردند. Etminan (1977) نیز با مطالعه میانبارهای سیال، ژرفای جایگزینی استوک سرچشمہ را ۳-۴ کیلومتر برآورد کردند.

(Hezarkhani & Williams-Jones 1998) نیز بر اساس مطالعه میانبارهای سیال و ستبرای توالی ستون چنی‌ای، ژرفای جایگزینی کانسار سونگون را ۲ کیلومتر تعیین کردند. ژرفای جایگزینی توده نفوذی کانسار میدوک بیشتر از کانسار سونگون و کمتر از کانسار سرچشمہ است.

به رغم این که از دیدگاه Arancibia & Clark (1996) رگه‌ها و رگچه‌های مگنتیتی به طور معمول در دگرسانی پتاسیک دیده نمی‌شوند و تاکنون در هیچ کدام از کانسارهای مس پورفیری ایران گزارش نشده است، نتایج مطالعات انجام گرفته در این نگارش بیانگر حضور رگچه‌ها و رگه‌های مگنتیتی در کانسار مس پورفیری میدوک است که با حضور رگچه‌ها و رگه‌های مذکور در کانسارهای مس پورفیری آیلند کاپر بریتیش کلمبیا (Ulrich and Henrich, 2001) و آلمبرای آرژانتین (Arancibia & Clark, 1996) همخوانی دارد.

ذخیره کانسار میدوک، کمتر از سرچشمہ و سونگون اما عیار میانگین مس (۰/۸۲ درصد) و عیار میانگین طلا (۰/۸۲ ppb) در این کانسار بیشتر از سرچشمہ و سونگون و عیار میانگین مولیبدن (۰/۰۰۷ درصد) کمتر از دو کانسار پورفیری فوق است. زون غنی شده ثانویه سولفیدی نیز در این کانسار مانند سرچشمہ خوب توسعه یافته است.

## ۱۱- نتیجه‌گیری

کانسار مس پورفیری میدوک در کمریند آتشفسنایی، نفوذی سهند-بزمان همراه با توده نفوذی کلسیمی-قلایی به سن میوسن است که در درون مجموعه آتشفسنایی رازک به سن ائوسن قرار گرفته است. کانی‌زایی اصلی در توده نفوذی میدوک پورفیری اتفاق افتاده و کمتر از ۱۰ درصد کانی‌زایی در سنگ‌های آتشفسنایی میزان صورت پذیرفته است. دگرسانی پتاسیک غنی از مگنتیت که با حضور رگچه‌ها و رگه‌های مگنتیتی مشخص می‌شود، برای اولین بار در کانسار میدوک شناسایی شده است. این دگرسانی تا به حال در هیچ کدام از کانسارهای مس پورفیری ایران گزارش نشده است.

مرحله اصلی کانی‌زایی شامل رخداد کالکوپیریت همراه با کوارتز، ایندریت و مگنتیت به صورت انتشاری و استوک ورک در زون دگرسانی پتاسیک است. مقدار  $X_{Mg}$  معیاری بسیار خوب برای شناسایی بیوتیت‌های ماگمایی، گرمایی و ثانویه است. بیوتیت‌های گرمایی و ثانویه  $X_{Mg}$  بیشتری نسبت به بیوتیت‌های ماگمایی دارند. بیوتیت‌های گرمایی و ثانویه در زون دگرسانی پتاسیک مقدار بیشتری از Si, Al, K نسبت به بیوتیت‌های ماگمایی دارند. در حالی که بیوتیت‌های ماگمایی دارای مقدار بیشتری از Fe, Ti, Na هستند.

بیشترین عیار مولیبدن (۰/۸۴ ppm) در واحد فروشست-اکسیدی و کمترین مقدار آن (۰/۳۸ ppm) در واحد ژرفزاد رخ داده است که گویای انحلال ناپذیری مولیبدن در این زون است. مقدار نسبت Cu/Mo و Ag/Au از قسمت‌های ژرف کانسار میدوک (واحد ژرفزاد) به طرف قسمت‌های سطحی کانسار (واحد فروشست-اکسیدی) کاهش نشان می‌دهد. در حالی که مقدار نسبت Mo/Au از قسمت‌های ژرف کانسار به قسمت‌های سطحی کانسار افزایش نشان می‌دهد. ضریب همبستگی مس با طلا از واحد ژرفزاد به سمت واحد فروشست-اکسیدی کاهش نشان می‌دهد که نشان دهنده حضور طلا در ساختار کالکوپیریت است.

(جدول ۳). همچنین یک ضریب همبستگی مثبت بین مس- طلا و ضریب همبستگی مثبت ضعیف بین مس-مولیبدن ، طلا-نقره و مس-نقره وجود دارد (جدول ۴ و شکل ۶). بیشترین مقدار نقره (۱/۹۳ ppm) و کمترین مقدار مولیبدن (۰/۳۸ ppm) در زون ژرفزاد دیده می‌شود (جدول ۳). ضریب همبستگی مثبت بین مس- طلا، طلا-نقره و مس-نقره دیده می‌شود که گویای تأثیر سیالات گرمابی یکسان در طول دگرسانی و کانی‌زایی است (جدول ۴ و شکل ۶).

مقدار نسبت Au/Cu/Mo و Ag/Cu از قسمت‌های ژرف کانسار میدوک (واحد ژرفزاد) به طرف قسمت‌های سطحی کانسار (واحد فروشست-اکسیدی) کاهش نشان می‌دهد، در حالی که مقدار نسبت Mo/Au از قسمت‌های ژرف کانسار به قسمت‌های سطحی کانسار افزایش نشان می‌دهد (جدول ۳).

در زون دگرسانی پتاسیک غنی از مگنتیت مقدار طلا بین ۰/۲۴۱-۰/۲۰ ppb در تغییر است (جدول ۵) و یک ضریب همبستگی مثبت قوی ( $r=0.82$ ) بین مس و طلا دیده می‌شود (شکل ۷). مقدار مولیبدن در این دگرسانی کم است. دامنه تغییرات طلا در دگرسانی پتاسیک تا حدودی مشابه دگرسانی پتاسیک غنی از مگنتیت می‌باشد ولی مقدار نقره در این دگرسانی بیشتر از بقیه زون‌های دگرسانی است (۰/۱۲ ppm). ضریب همبستگی مثبت بین مس- طلا (۰/۰۶۶)، مس- نقره (۰/۰۴۳) و طلا-نقره (۰/۰۳۷) وجود دارد (جدول ۶). ضریب همبستگی بین مس با طلا، نقره و مولیبدن از دگرسانی پتاسیک غنی از مگنتیت و پتاسیک به طرف دگرسانی‌های پتاسیک-فیلیک، فیلیک و آرژیلیک کاهش می‌باشد. نسبت Ag/Au از دگرسانی پتاسیک غنی از مگنتیت به دگرسانی آرژیلیک و نسبت Mo/Cu نیز از دگرسانی پتاسیک غنی از دگرسانی سمت دگرسانی آرژیلیک کاهش می‌باشد. در حالی که نسبت Mo/Au از دگرسانی غنی از مگنتیت به سمت دگرسانی فیلیک افزایش یافته و در دگرسانی آرژیلیک این نسبت قدری کاهش نشان می‌دهد (جدول ۵). توزیع عناصر مس، طلا، نقره، مولیبدن، آهن و گوگرد در ارتباط با زون‌های کانی‌زایی و دگرسانی در ۴ حلقه گمانه‌حفر شده در کانسار میدوک مورد بررسی قرار گرفته است (شکل‌های ۸ و ۹). تغییرات این عناصر با عمق متأثر از نوع زون کانی‌زایی، نوع دگرسانی و شدت کانی‌زایی است. شکل ۸ که تغییرات مس و طلا را در گمانه‌های ۵۴ و ۵۶ نشان می‌دهد، رابطه مستقیم بین تغییر مقدار مس و طلا را نشان می‌دهد. به عبارتی با افزایش مقدار مس مقدار طلا نیز افزایش می‌باشد. تقریباً در همه کانسارهای مس پورفیری یک رابطه مثبت قوی بین مقدار مس و طلا بوده در زون پتاسیک وجود دارد (Villa&Sillitoe, 1991; Billa et al., 2004). در زون فروشست-اکسیدی، با کاهش مقدار مس، مقدار آهن و مولیبدن افزایش می‌باشد، اما مقدار گوگرد کاهش می‌باشد (شکل ۹).

## ۱۰- مقایسه با دیگر کانسارهای مس پورفیری

با قرار دادن داده‌های مس، طلا، نقره و مولیبدن برای کانسار میدوک در نمودار Cox and Singer (1988)، بیشتر نمونه‌های زون ژرفزاد نزدیک به رأس Cu می‌گیرند (شکل ۱۰). همچنین با رسم عیار میانگین مس، طلا، نقره و مولیبدن قسمت‌های ژرفزاد، غنی شده ثانویه سولفیدی و میانگین کل کانسار نیز فقیر بودن کانسار میدوک از طلا و مولیبدن مشخص است (شکل ۱۱). جدول ۷ نیز مقایسه بین کانسار میدوک با دو کانسار مهم و اصلی کمریند مس ایران (سرچشمہ و سونگون) را نشان می‌دهد. ترکیب توده نفوذی کانسار میدوک دیبوریتی و کوارتز-دیبوریتی است در حالی که در سرچشمہ از نوع گرانودیبوریتی و کوارتز-مونزونیتی است و در کانسار سونگون از نوع دیبوریت-گرانودیبوریتی و کوارتز-مونزونیتی است. براساس بررسی‌های

سرچشم و سونگون دارای بیشترین عیار میانگین نقره است. اما در واحد ژرفزاد عیار میانگین نقره کانسار سونگون از سرچشم و میدوک بیشتر است. بر اساس مطالعات کانی شناسی، سنگ‌نگاری، هاله‌های دگرسانی و مقادیر فلزهای با ارزش، کانسار مس پورفیری میدوک مشابه کانسارهای مس پورفیری نوع حاشیه قاره‌ای است.

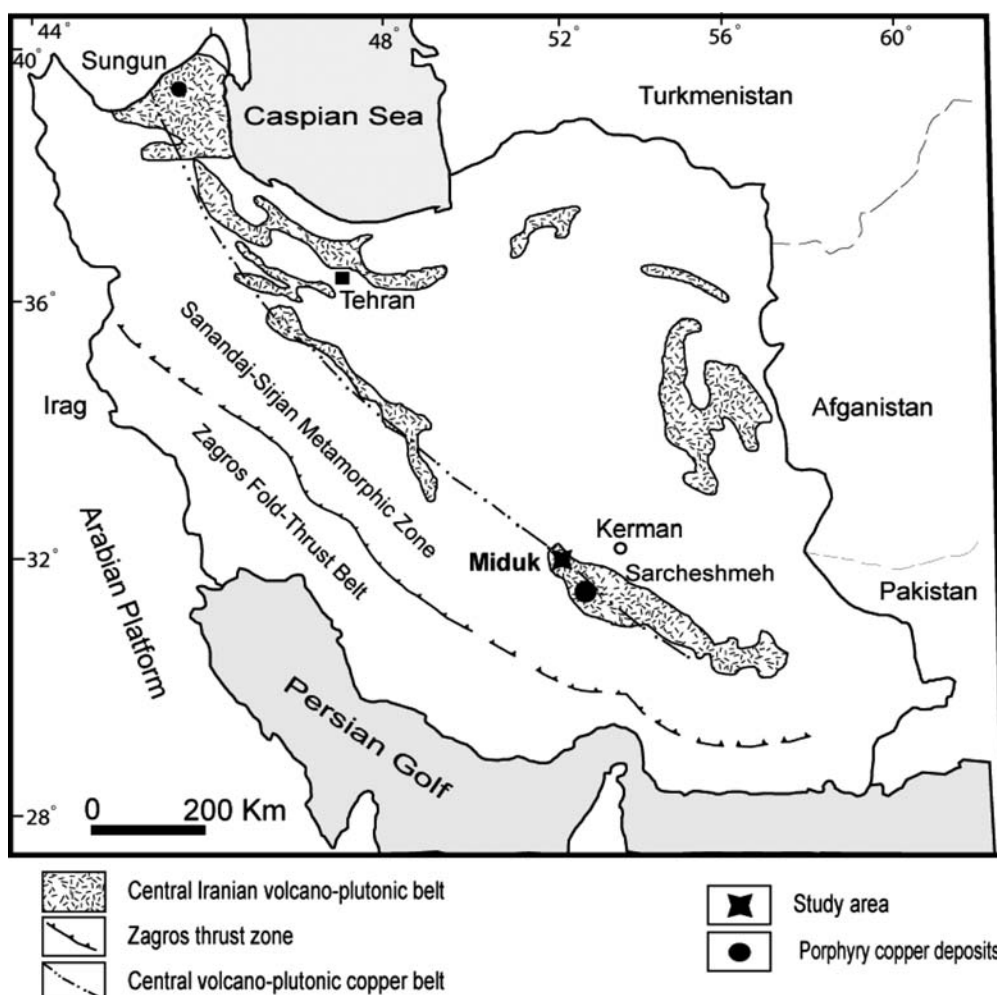
### سپاسگزاری

از شرکت ملی صنایع مس ایران بویژه امور تحقیق و توسعه مجتمع مس سرچشم به خاطر تأمین هزینه‌های مالی این تحقیق تشكیر و قدردانی می‌شود. از مدیریت محترم معدن مس میدوک که داده‌های زیادی را در اختیار گذاشتند و از کارشناسان پخش زمین‌شناسی آن به خاطر همکاری در مراحل مختلف نمونه‌برداری صمیمانه قدردانی می‌شود. از سردبیر و داوران محترم فصلنامه علوم زمین به خاطر پیشنهادهای سازنده، قدردانی می‌نماییم.

با استفاده از نمودارهای  $\text{Cu}/\text{Au}$  در برابر  $\text{Cu}/\text{Mo}$  در برابر  $\text{Cu}/\text{Au}$  و  $\text{Cu}/\text{Mo}$  در برابر  $\text{Cu}/\text{Au}$  واحدهای کانی‌زایی مختلف در کانسار مس پورفیری میدوک به خوبی قابل تفکیک هستند.

عیار میانگین طلا از دگرسانی پتاسیک به سمت دگرسانی آرژیلیک کاهش یافته است. بیشترین عیار میانگین نقره ( $2/12 \text{ ppm}$ ) همراه با دگرسانی پتاسیک است و از این دگرسانی به سمت دگرسانی آرژیلیک مقدار عیار آن کاهش می‌یابد. نسبت  $\text{Ag}/\text{Au}$  از دگرسانی پتاسیک به سمت دگرسانی آرژیلیک و نسبت  $\text{Mo}/\text{Cu}$  نیز از دگرسانی پتاسیک غنی از مگنتیت به سمت دگرسانی آرژیلیک کاهش می‌یابد. در حالی که نسبت  $\text{Mo}/\text{Au}$  از دگرسانی غنی از مگنتیت به سمت دگرسانی فیلیک افزایش یافته است. کانسار مس پورفیری میدوک دارای بیشترین عیار میانگین طلا در واحدهای فروشست-اکسیدی، غنی شده سولفیدی ثانویه و ژرفزاد در مقایسه با کانسارهای سرچشم و سونگون است.

واحد فروشست-اکسیدی و غنی شده سولفیدی ثانویه کانسار میدوک نسبت به



شکل ۱- موقعیت منطقه مورد مطالعه در کمربند آتشفشاری- نفوذی مس ایران (از آقابناتی، ۱۳۸۳ با تغییرات).

جدول ۲- ترکیب شیمیایی بیوتیت‌های ماگمایی (نادگرسان) و بیوتیت‌های ماگمایی متأثر از سیالات گرمایی در کانسار میدوک.

Sample No.	TM4	TM4	TM4	TM4	NT12	NT12	NT12	NT12	L.D	L.D	L.D	L.D	L.D
Type	H	H	H	H	H	H	H	H	M	M	M	M	M
SiO <sub>2</sub>	77/55	77/10	77/22	77/22	77/08	77/24	76/77	77/20	77/22	75/69	75/74	75/18	75/73
TiO <sub>2</sub>	77/77	77/17	75/55	77/7	77/21	75/50	73/45	74/42	74/12	74/1	74/74	75/1	73/85
Al <sub>2</sub> O <sub>3</sub>	13/56	13/19	13/28	13/19	13/42	13/18	13/15	13/19	13/27	13/57	13/46	13/18	13/99
Fe <sub>2</sub> O <sub>3</sub>	1/10	6/37	4/55	4/7	4/21	4/50	3/45	4/42	4/12	4/1	4/74	4/51	3/85
FeO	11/42	7/46	12/18	13/51	14/49	14/55	13/80	14/30	13/88	17/53	16/49	15/63	17/76
MnO	-	0/11	0/17	0/10	-	-	0/3	0/1	0/2	0/1	0/18	0/25	0/26
MgO	16/85	16/91	16/85	16/45	15/95	15/39	16/7	15/91	15/71	13/36	14/83	13/58	13/92
CaO	-	0/6	0/17	0/4	0/1	0/6	0/3	0/3	0/4	0/8	-	0/11	0/7
Na <sub>2</sub> O	0/43	0/9	0/35	0/2	0/31	0/19	0/24	0/34	0/21	0/29	0/35	0/28	0/46
K <sub>2</sub> O	9/69	9/68	9/50	9/78	9/68	9/88	9/19	9/93	10/13	8/99	9/11	9/44	9/51
F	-	-	0/6	0/1	1/5	0/88	1/22	1/69	0/5	0/6	0/12	0/5	0/29
Total	45/19	46/10	46/18	46/13	46/95	46/50	45/18	47/97	45/99	45/41	45/7	45/97	45/13
Si	2/78	2/40	2/76	2/78	2/80	2/78	2/77	2/69	2/78	2/74	2/74	2/75	2/74
Ti	-/11	-/58	-/10	-/13	-/14	-/10	-/22	-/25	-/24	-/21	-/22	-/26	-/22
Al	1/18	3/15	1/16	1/21	1/18	1/22	1/23	1/22	1/22	1/16	1/16	1/15	1/16
Fe	-/18	7/9	-/16	-/15	-/19	-/18	-/19	-/19	-/18	-/15	-/15	-/18	-/18
Mn	-	-/2	-/1	-/1	-	-	-	-	-/1	-/1	-/1	-/2	-/2
Mg	1/86	5/13	1/16	1/13	1/77	1/11	1/18	1/16	1/15	1/67	1/55	1/58	1/58
Ca	-	-/1	-/1	-	-/1	-	-	-	-	-	-	-/1	-/1
Na	-/6	0/11	-/5	-/3	-/5	-/3	-/4	-/5	-/3	-/5	-/6	-/7	-/7
K	-/92	2/47	-/90	-/93	-/92	-/94	-/95	-/94	-/91	-/89	-/91	-/93	-/89
XMg	-/98	-/98	-/98	-/98	-/96	-/95	-/97	-/96	-/97	-/96	-/95	-/97	-/97
XFe	-/31	-/32	-/31	-/31	-/33	-/32	-/33	-/32	-/38	-/45	-/38	-/42	-/42

کمتر از حد اندازه گیری- دستگاه بیوت- بیوت مگمایی = M بیوت مگمایی متأثر از سیالات گرمایی = H

جدول ۱- ترکیب شیمیایی بیوتیت‌های ثانویه هاله دگرسانی پتاسیک در کانسار میدوک

Sample No.	NT12	NT12	NT12	NT12	NT12	TM5	TM5	TM5	TM5	TM4	TM4	TM4	TM4
SiO <sub>2</sub>	77/37	77/25	78/49	78/18	78/45	78/14	78/45	78/47	78/49	78/22	78/5	78/15	78/47
TiO <sub>2</sub>	1/12	1/12	2/11	2/12	2/12	2/12	2/12	2/12	2/12	2/10	2/12	2/11	2/12
Al <sub>2</sub> O <sub>3</sub>	17/16	17/16	17/17	17/17	17/17	17/17	17/17	17/17	17/17	17/17	17/17	17/17	17/17
Fe <sub>2</sub> O <sub>3</sub>	-	2/11	-	-	-	-	-	-	-	1/11	1/11	1/11	1/11
FeO	11/14	11/11	13/4	11/14	11/15	11/14	11/14	11/14	11/14	11/13	12/12	12/12	11/14
MnO	-/11	1/15	-/13	-/12	-/12	-/12	-/12	-/12	-/12	-/12	-/12	-/12	-/12
MgO	19/96	19/12	17/17	15/16	18/19	17/16	17/16	17/16	17/16	18/11	19/12	19/12	18/11
CaO	-/11	-/13	-/10	-/10	-/12	-/12	-/12	-/12	-/12	-/11	-/12	-/12	-/11
Na <sub>2</sub> O	-/18	-/22	-/25	-/25	-/15	-/17	-/15	-/15	-/15	-/16	-/16	-/16	-/16
K <sub>2</sub> O	-/11	-/14	-/15	-/15	-/12	-/12	-/12	-/12	-/12	-/11	-/12	-/12	-/11
F	1/12	1/11	-	-	2/18	1/15	1/15	-	-	-/12	-/13	-/12	-/11
Total	45/11	48	49/25	49/11	49/41	49/17	49/16	49/17	49/18	49/11	49/18	49/18	49/15
Si	2/17	2/12	2/17	2/18	2/11	2/12	2/11	2/12	2/12	2/17	2/18	2/18	2/18
Ti	-/7	-/12	-/11	-/11	-/14	-/12	-/12	-/12	-/12	-/15	-/10	-/11	-/16
Al	1/16	1/17	1/12	1/12	1/15	1/12	1/12	1/12	1/12	1/17	1/12	1/12	1/11
Fe	-/17	-/18	-/18	-/18	-/17	-/17	-/17	-/17	-/17	-/17	-/18	-/17	-/17
Mn	-/11	-	-	-	-	-	-	-	-	-	-	-	-
Mg	1/18	1/18	1/18	1/17	1/20	1/18	1/18	1/18	1/18	2/11	1/18	1/18	1/18
Ca	-/11	-/11	-/11	-/11	-/11	-/11	-/11	-/11	-/11	-	-	-	-/11
Na	-/13	-/13	-/14	-/14	-/12	-/13	-/13	-/13	-/13	-/12	-/13	-/12	-/12
K	-/82	-/82	-/82	-/82	-/83	-/82	-/82	-/82	-/82	-/83	-/82	-/83	-/81
XMg	-/97	-/98	-/98	-/98	-/96	-/97	-/96	-/97	-/97	-/97	-/97	-/97	-/97
XFe	-/18	-/19	-/18	-/18	-/19	-/18	-/18	-/18	-/18	-/17	-/18	-/18	-/18

X<sub>Mg</sub> = Mg/Mg+Fe X<sub>Fe</sub> = Fe/Fe+Mg

کمتر از حد اندازه گیری دستگاه -

بیوت مگمایی = M بیوت مگمایی متأثر از سیالات گرمایی = H

جدول ۳- عیار میانگین و گستره تغییرات مس، طلا، نقره و مولیبدن در زون‌های کاتیزاسی مختلف در کانسار میدوک

زون‌های کاتیزاسی	فروشست-اکسیدی تعداد نمونه = ۳۲			غنى شده سولفیدی ثانویه تعداد نمونه = ۸۴			ژرفزاد تعداد نمونه = ۱۹۹		
عناصر	میانگین ± پراش	دامنه تغییرات	میانگین ± پراش	دامنه تغییرات	میانگین ± پراش	دامنه تغییرات	Cu	Au	Ag
Cu (%)	0/13±0/62	0/02-0/87	1/49±1/14	0/15-5/32	0/89±0/45	0/12-2/66			
Au (ppb)	79/5±78/82	14-410	82/5±61/55	15-280	81/93±58/52	10-320			
Ag (ppm)	1/58±2/01	0/19-10/3	1/78±1/67	0/38-8/2	1/93±0/99	0/57-8/5			
Mo (ppm)	84±82	5-280	69±50/70	10-230	38±35/11	10-160			
Ag/Au	19/8		21/5		22/5				
Mo/Au	10/56		836		463				
Cu/Mo	15		215		234				

جدول ۴- ضربی همبستگی مس، طلا، نقره و مولیبدن در زون‌های مختلف کاتیزاسی.

ژرفزاد			غنى شده سولفیدی ثانویه			فروشست-اکسیدی			
Cu	Au	Ag	Cu	Au	Ag	Cu	Au	Ag	
Au	0/58		Au	0/53		Au	0/14		
Ag	0/41	0/36	Ag	0/05	0/20	Ag	0/14	0/77	
Mo	-0/14	-0/31	-0/14	Mo	0/14	-0/12	Mo	-0/21	-0/05

جدول ۵- عیار میانگین و گستره تغییرات مس، طلا، نقره و مولیبدن در زون‌های دگرسانی مختلف در کانسار میدوک

زون‌های دگرسانی	پتاسیک غنی از مگنتیت تعداد نمونه = ۲۵	پتاسیک تعداد نمونه = ۹۰	فیلیک تعداد نمونه = ۹۰	آرژیلیک تعداد نمونه = ۴۷				
عنصر	گستره تغییرات میانگین ± پراش	گستره تغییرات میانگین ± پراش	گستره تغییرات میانگین ± پراش	گستره تغییرات میانگین ± پراش				
Cu (%)	۰/۹۴ ± ۰/۳۷	۰/۴ - ۱/۶	۰/۹ ± ۰/۴۲	۰/۲۸ - ۱/۶	۰/۰۵ ± ۰/۵۹	۰/۱۳ - ۱/۷	۰/۴۸ ± ۰/۸	۰/۰۱ - ۲/۹۲
Au (ppb)	۷۴/۸ ± ۴۵/۸	۲۰ - ۲۴۱	۷۸ ± ۵۰/۲۵	۱۳ - ۳۰۰	۷۱ ± ۵۵/۲۹	۱۰ - ۳۲۰	۶۰/۸۵ ± ۵۳/۶۹	۱۵ - ۲۲۰
Ag (ppm)	<۲	-----	۲/۱۲ ± ۱/۴	۰/۷۶ - ۸/۵	۱/۶۲ ± ۰/۷۹	۰/۳۸ - ۲/۸	۱/۲۳ ± ۰/۶۶	۰/۱۹ - ۲/۸
Mo (ppm)	۲۶ ± ۱۴/۶۸	۱۰ - ۳۵۷	۳۰ ± ۲۵/۴۴	۵ - ۱۲۰	۶۸/۵ ± ۵۵/۲	۱۰ - ۲۳۰	۵۲/۶ ± ۴۸/۶	۱۰ - ۱۵۰
Ag/Au				۲۷		۲۲		۲۰
Mo/Au	۳۴۷			۳۸۴		۹۶۴		۸۶۴
Cu/Mo	۳۶۱			۳۰۰		۱۲۴		۹۱

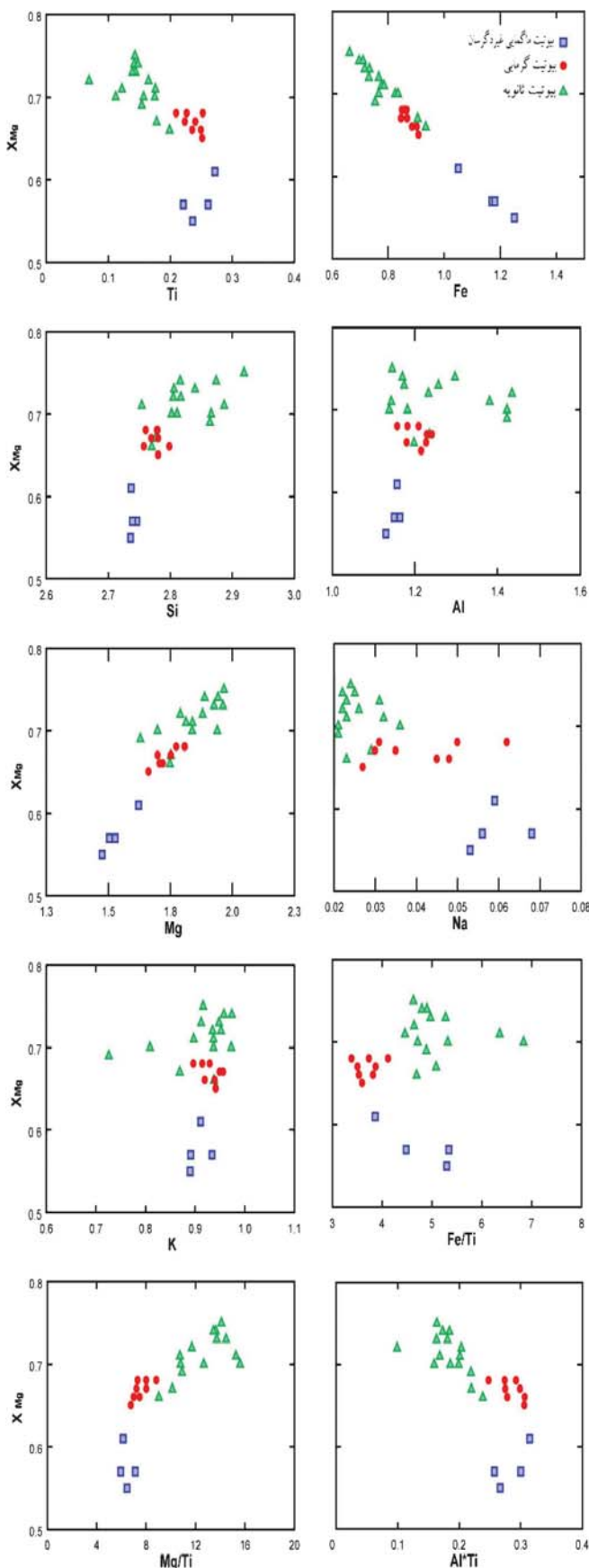
جدول ۶- ضریب همبستگی مس، طلا، نقره و مولیبدن در زون‌های دگرسانی مختلف در کانسار میدوک

پتاسیک غنی از مگنتیت	پتاسیک	فیلیک			آرژیلیک								
Cu	Au	Cu	Au	Ag	Cu	Au	Ag	Cu	Au	Ag			
Au	۰/۸۲	Au	۰/۶۶		Au	۰/۲۱		Au	۰/۳۵				
Mo	۰/۰۴	۰/۳۷	Ag	۰/۴۳	۰/۳۷	Ag	۰/۱۲	۰/۴۶	Ag	۰/۱۸	۰/۲۶		
		Mo	۰/۰۲	۰/۰۴	-۰/۳۶	Mo	-۰/۱۴	-۰/۲۲	-۰/۴۷	Mo	-۰/۲۷	۰/۱۹	۰/۱۴

جدول ۷- مقایسه کانسار میدوک با کانسارات سرچشمه و سونگون.

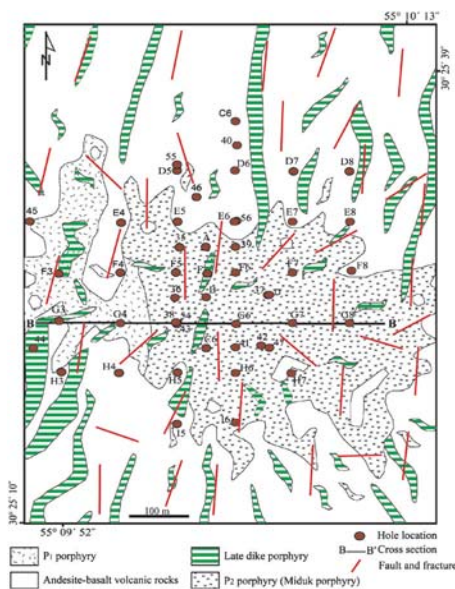
کانسار سونگون	کانسار سرچشمه	کانسار میدوک	معيار مقاييسه اي
حاشيه قاره‌اي	حاشيه قاره‌اي	حاشيه قاره‌اي	موقعيت زمين ساختی
دیوریت-گرانودیوریت، کوارتز مونزونیت <sup>۱</sup>	گرانودیوریت، کوارتز مونزونیت <sup>۱</sup>	دیوریت، کوارتز دیوریت، گرانودیوریت؟	توده نفوذی
داسیت، تراکی آندزیت <sup>۲</sup>	آندزیت <sup>۱</sup>	آندزیت-بازالت	سنگ میزان
۲ <sup>۳</sup>	۴/۷۵ <sup>۳</sup>	۲/۵۱ <sup>۳</sup>	ژرفای جایگزینی (کیلومتر)
پتاسیک، پروپلیتیک، آلتیتیک، پتاسیک-فیلیک، فیلیک، آرژیلیک <sup>۴</sup>	پتاسیک، پروپلیتیک، فیلیک ± آرژیلیک <sup>۱</sup>	پتاسیک غنی از مگنتیت، پتاسیک، پتاسیک-فیلیک، پروپلیتیک، فیلیک، آرژیلیک	انواع دگرسانی ها
فراوان	فراوان	گسترده	حضور ایندریت
۶۰۰ <sup>۳</sup>	۱۲۰۰ <sup>۱</sup>	۱۷۰ <sup>۳</sup>	ذخیره کانسار (میلیون تن)
۰/۷۶ <sup>۳</sup>	۰/۶۴ <sup>۱</sup>	۰/۸۲ <sup>۸</sup>	عيار ميانگين مس (%)
۱۷ <sup>۳</sup>	۶۰۵	۸۲ <sup>۸</sup>	عيار ميانگين طلا (ppb)
۲/۲ <sup>۳</sup>	۱/۱۴ <sup>۵</sup>	۱/۸۰ <sup>۸</sup>	عيار ميانگين نقره (ppm)
۰/۰۱ <sup>۳</sup>	۰/۰۳۷	۰/۰۰۷ <sup>۸</sup>	عيار ميانگين موليدن (%)
۵۸۸۲	۵۰۰۰	۸۵۳	Mo/Au
محدود <sup>۶</sup>	خیلی گسترده	خیلی گسترده	رخداد پخش غنی شده ثانویه سولفیدی
<sup>۶</sup> Cu-Mo-Ag	<sup>۵</sup> Cu-Mo-Au-Ag	Cu-Au-Ag	اجزائی فلزی با ارزش

<sup>۱</sup> Waterman and Hamilton, 1975; <sup>2</sup> Hezarkhani and William-Jones, 1998; <sup>3</sup> McInnes et al., 2005; <sup>4</sup> Calagari 2004; <sup>۵</sup> ۱۳۸۰؛ <sup>۶</sup> شعیعی و همکاران، ۱۳۸۱؛ <sup>۷</sup> Shahabpour, 2008

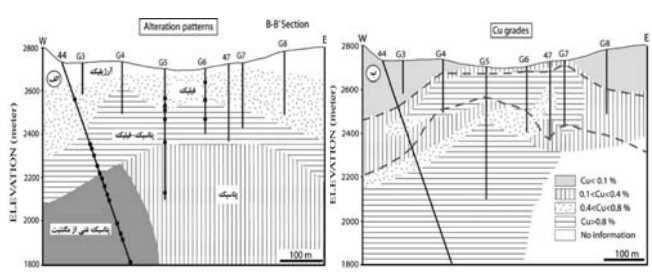


شکل ۵- ترکیب شیمیایی سه نوع بیوتیت مختلف در کانسار میدوک

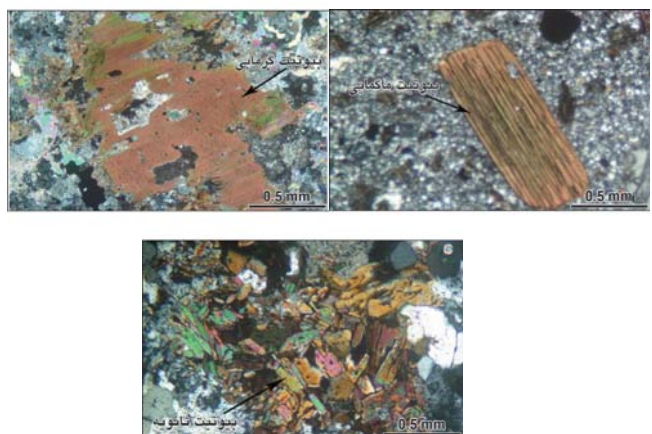
$$. (X_{Mg} = Mg/Mg+Fe)$$



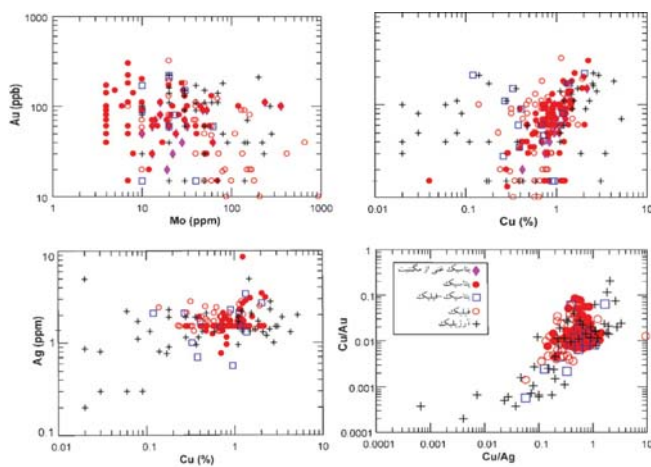
شکل ۲- نقشه زمین‌شناسی کانسار مس پورفیری میدوک از Outomec, 1992 با تغییرات). دایره‌های توپر نشان دهنده محل حفر گمانه‌ها است.



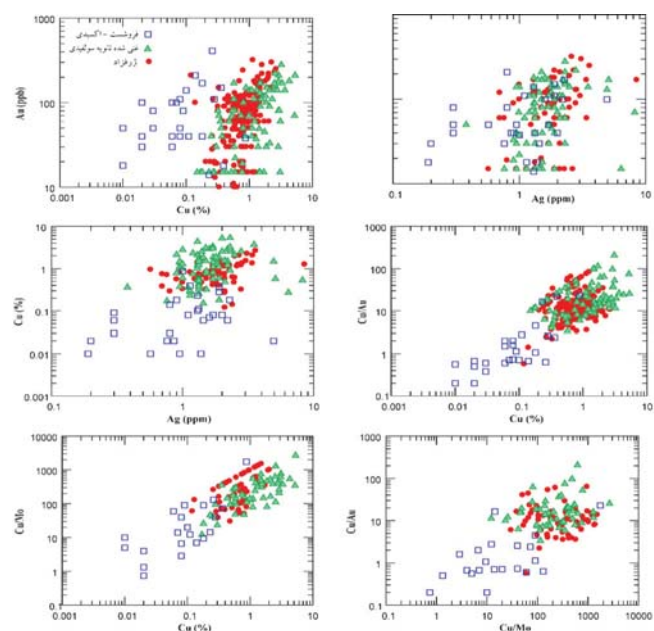
شکل ۳- پراکندگی مجموعه‌های دگرسانی (الف) و عیار مس (ب) در مقطع عرضی (شکل ۲) کانسار مس پورفیری میدوک. نقاط سیاه محل های نمونه‌برداری را نشان می‌دهد. مرز بین زون‌های فروشست-اکسیدی، غنی شده ثانویه سولفیدی و ژرفاد توسط خطوطی از هم جدا شده است.



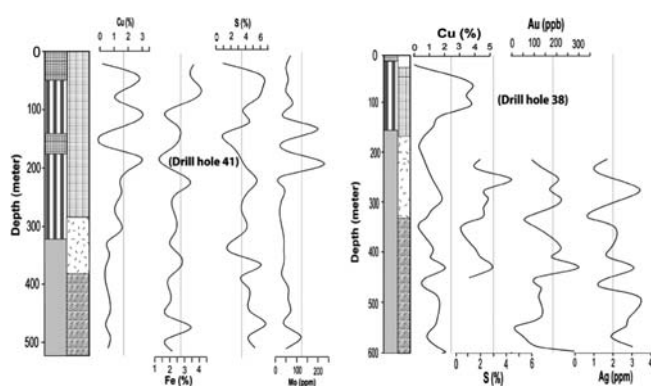
شکل ۴- انواع بیوتیت در کانسار میدوک. الف) بیوتیت ماگماتی شکل دار و بدون دگرسانی. ب) بیوتیت ماگماتی متأثر از سیالات گرمابی در هاله دگرسانی پتاسیک. ج) پولک‌های بیوتیت ثانویه در هاله دگرسانی پتاسیک.



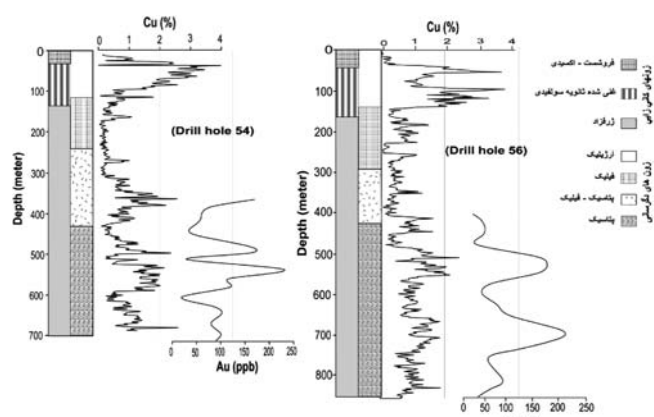
شکل ۷- تغییرات عناصر مس، طلا، مولیبدن و نقره در زون‌های دگرسانی مختلف کانسار میدوک.



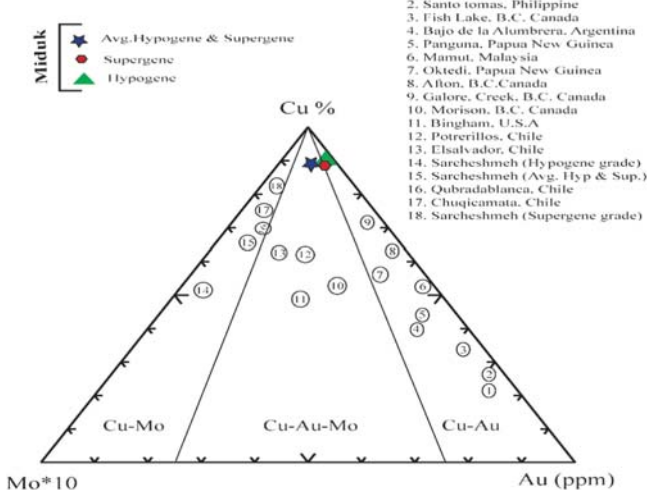
شکل ۶- تغییرات عناصر مس، طلا، مولیبدن و نقره در زون‌های فروشست- اکسیدی، غنی شده ثانویه سولفیدی و ژرفاد.



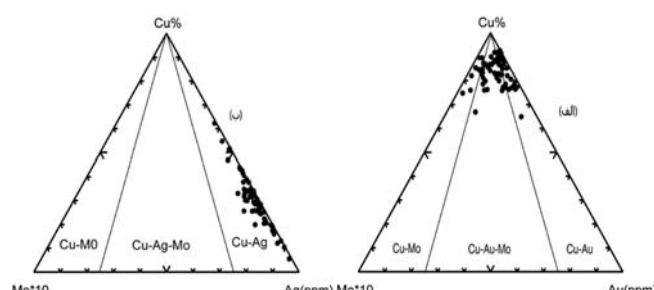
شکل ۹- تغییرات زون‌های دگرسانی و کانی‌زایی و عناصر مس، طلا، آهن، گوگرد و مولیبدن با عمق در گمانه‌های ۳۸ و ۴۱. علامت مشابه شکل ۹. در گمانه ۳۸ به ازای هر ۲۰ متر یک نمونه و گمانه ۴۱ به ازای هر ۱۰ متر یک نمونه است.



شکل ۸- تغییرات زون‌های دگرسانی و کانی‌زایی و عناصر مس و طلا با عمق در گمانه‌های ۵۴ و ۵۶. داده‌های درصد مس به ازای هر یک متر و طلا به ازای هر ۲۰ متر یک نمونه است.



شکل ۱۱- مقایسه کانسار میدوک با دیگر کانسارهای مس پورفیری دنیا در نمودار داده‌ها از Cox and Singer (1988) و Vila and Sillitoe (1991).



شکل ۱۰- وضعیت زون ژرفاد کانسار میدوک در نمودار (الف) Cox and Singer (1988) بر اساس مقادیر Cu, Mo, Au و (ب) Cu, Mo, Ag.

## کتابنگاری

- آقاباتی، ع.، ۱۳۸۳- زمین‌شناسی ایران، وزارت صنایع و معدن، سازمان زمین‌شناسی و اکتشافات معدنی کشور، ۶۲۳ صفحه.
- تقی پور، ن.، ۱۳۸۶- کاربرد زئوژیمی سیالات در گیر و ایزوتوپی بعنوان راهبردهای اکتشافی، دگرسانی و کانی‌زایی در کانسار مس پورفیری میدوک، شهریابک، کرمان، پایان نامه دکترای زمین‌شناسی دانشگاه شهید باهنر، ۳۰۵ صفحه
- شنبیعی، ب.، شهاب پور، ج. و سعدلو، م.، ۱۳۸۰- ویژگی‌های ژئوشیمیایی، سرشت و خاستگاه طلا و نقره ژرفاد در کانسار مس پورفیری سرچشم کرمان. مجله علوم زمین، شماره ۳۴-۳۳ صفحه ۴۹-۳۴.
- طباطبایی، د.، ۱۳۸۰- بررسی ژئوشیمیایی و اهمیت اکتشافی هاله‌های لیتوژئوژیمیایی در کانسار پورفیری (Cu-Mo) - اسکارن (Cu-Ag-Au) سونگون اهر، آذربایجان، پایان نامه کارشناسی ارشد زمین‌شناسی دانشگاه شهید باهنر کرمان، ۳۷۶ صفحه

## References

- Aftabi, A. & Atapour, H., 2000- Regional aspects of shoshonitic volcanism in Iran, *Episodes*, 23: 119-125.
- Alavi, M., 1994 - Tectonics of the Zagros orogenic belt of Iran: New data and interpretations: *Tectonophysics*, 229: 211-238.
- Anonymous, 1973- Exploration for ore deposits in Kerman Region, Institute for Geological and Mining Exploration and Institution of Nuclear and other Mineral Raw Materials, Beograd-Yugoslavia, Iran Geol. Survey Report No.Yu/53, 247p.
- Arancibia, O. N. & Clark, A. H., 1996- Early magnetite-plagioclase alteration-mineralization in the Island Copper porphyry copper-gold-molybdenum deposit, British Columbia, *Eco4nomic Geology*, 91: 402-458.
- Beane, R. E. & Bodnar, R. J., 1995- Hydrothermal fluids and hydrothermal alteration in porphyry copper deposits. In Pierce, F. W. and Bohm, J. G., *Porphyry Copper Deposits of the American Cordillera*. Arizona Geological Society Digest 20, Tucson, AZ p. 83-93.
- Beane, R.E. & Titley, S.R., 1981- Porphyry copper deposits, part II: Hydrothermal alteration and mineralization: *Economic Gology*, 75th Anniv. Volume, p. 235-269.
- Berberian, M. & King G. C. P., 1981- Towards a paleogeography and tectonic evolution of Iran: *Canadian Journal of Earth Sciences*, 18: 210-265.
- Billa, M., Cassard, D., Lips, A. L. W., Bouchot, V., Tourliere, B., Stein, G., and Guillou-Frottier, 2004 - Predicting gold-rich epithermal and porphyry systems in the central Andes with a continental-scale metallogenic GIS. *Ore Geology Reviews*, 25, 39-67.
- Burnham, C.W., 1979- Magmas and hydrothermal fluids, in Barnes, H.L. (ed.) *Geochemistry of Hydrothermal Ore Deposits*: New Yourk, Wiley, P. 71-136.
- Calagari, A. A., 2004 - Fluid inclusion studies in quartz veinlets in the porphyry copper deposit at Sungun, East-Azerbaijan, Iran, *Journal of Asian Earth Sciences*, 23: 179- 189.
- Etminan, H., 1977- Le Porphyre cuprifere de Sar Cheshmeh (Iran): Role de phases fluid dens les mechanisms. *Dalteration et mineralization. Science de la terre, Memoir* 34, 249p.
- Ford, J. H., 1978- A chemical study of alteration at the Panguna copper deposit, Bougainville Papua New Guina. *Economic Geology*, 73, 703-721.
- Förster, H., 1978- Mesozoic-Cenozoic metallogenesis in Iran: *Journal of the Geological Society of London*, 135: 443-455.
- Hassanzadeh, J., 1993- Metallogenic and tectono-magmatic events in SE sector of the Cenozoic active continental margin of Central Iran (Shahr-Babak, Kerman province), Ph.D thesis, University of California, 201 p.
- Hezarkhani, A. & Williams-Jones, A.E., 1998- Controls of alteration and mineralization in the Sungun porphyry copper deposit, Iran: Evidence from fluid inclusions and stable isotopes, *Economic Geology*, 93: 651-670.
- Hezarkhani, A., 2000- The Calculation of Mass Transfer and Element Mobility During the Hydrothermal Alteration in the Sungun Porphyry Copper Deposit, Iran. *International Journal of Engineering*, V. 15, No. 4, p. 391-408.
- Jacobs, D. C. & Parry, W. T., 1976- A comparison of the geochemistry of biotite from some basin and range stocks. *Economic Geology*, 71: 1029-1035.
- Jones, B. K., 1992- Application of metal zoning to gold exploration in the porphyry copper systems, *Journal of Geochemical Exploration*, 43:127-155.
- Kesler, S. E., Issigonis, M. J., Brownlow, A. H., Damon, P. E., Moore, W. J., Northcote, K. E., Preto, V. A., 1975- Geochemistry of biotites from mineralized and barren intrusive systems. *Economic Geology*, 70: 559-567.
- McInnes, B. I. A., Evans, N. J., Fu, F. Q. and Garwin, S., 2005- Application of thermochronology to hydrothermal ore deposits, *Reviews in Mineralogy & Geochemistry*, 58: 467-498.
- Mohajjel, M., Fergusson, C. L. & Sahandi, M. R., 2003- Cretaceous-Tertiary convergence and continental collision, Sanandaj-Sirjan zone, Western Iran: *Journal of Asian Earth Sciences*, 21: 397-412.
- Muller, D., Heithersay, P. S. & Groves, D. I., 1994 - The shoshonitic porphyry Cu-Au association in the Goonumbla District, N.S.W., Australia. *Mineralogy and Petrology*, 51, 299-321.
- Outomec, 1992- Techno-Economic feasibility study and relevant backing technical studies of Miduk copper project.
- Parry, W. T., & Jacobs, D. C., 1975- Fluorine and chlorine in biotite from Basin and Range plutons. *Economic Geology*, 70: 554-558.
- Saric, A., Djordjevic, M., Dimitrijevic, M. N., 1971- Geological map of Shahr-Babak, scale 1/100000 Tehran, Iran, Geological Survey of Iran.
- Selby, D. & Nesnitt, B. E., 2000- Chemical composition of biotites from the Casino porphyry Cu-Au-Mo mineralization, Yukon, Canada: evolution of magmatic and hydrothermal fluid chemistry, *Chemical Geology*, 171: 77-93.
- Shahabpour, J., 2000- Behavior of Cu and Mo in the Sarsheshmeh porphyry Cu deposit, Kerman, Iran, *CIM Bulletin*, 93: 44-51.
- Stollery, G., Borcsik, M., Holland, H. D., 1971- Chlorine in intrusives: a possible prospecting tool. *Economic Geology*, 66: 361-367.
- Ulrich, T. & Henrich, C., 2001- Geology and alteration geochemistry of the porphyry Cu-Au deposit at Bajo de la Alumbra, Argentina, *Economic Geology*, 96: 1719-1742.
- Vila, T. & Sillitoe, R. H., 1991- Gold-rich porphyry systems in the Maricunga belt, northern Chile: *Economic Geology*, 86: 1238-1260.
- Waterman, G. C. & Hamilton, R. L., 1975- The Sarcheshmeh porphyry copper deposit: *Economic Geology*, 70: 568-576.